

بِسْمِ اللّٰهِ الرَّحْمٰنِ الرَّحِيْمِ

وزارت علوم، تحقیقات و فناوری



دانشگاه دامغان

دانشکده زیست شناسی

پایان نامه کارشناسی ارشد بافت شناسی و جنین شناسی

تأثیر هورمون‌های استروئیدی بر بیان Oct4 و Sox2 در بافت رحم موش
اواریکتومی

توسط:

مرضیه داؤدی

اساتید راهنما:

دکتر سعید زواره

دکتر سید حسن پایلاخی

اساتید مشاور:

دکتر محمد تقی قربانیان

دکتر سید رضا محبی

بهمن ماه ۱۳۹۲

به نام خدا

تأثیر هورمون‌های استروئیدی بر بیان Oct4 و Sox2 در بافت رحم موش اواریکتومی

بوسیله‌ی:
مرضیه داودی

پایان نامه
ارائه شده به تحصیلات تکمیلی دانشگاه به عنوان بخشی
از فعالیت‌های تحصیلی لازم برای اخذ درجه کارشناسی ارشد

در رشته‌ی:
زیست‌شناسی (بافت شناسی و جنین شناسی)
از دانشگاه دامغان

ارزیابی و تأیید شده توسط کمیته پایان نامه با درجه: عالی

دکتر سعید زواره، استادیار بیولوژی تولیدمثل دانشکده زیست شناسی دانشگاه دامغان (استاد راهنما)

دکتر سید حسن پای‌لاخی، استادیار ژنتیک مولکولی دانشکده زیست شناسی دانشگاه دامغان (استاد راهنما)

دکتر محمدتقی قربانیان، استادیار علوم تشریح دانشکده زیست شناسی دانشگاه دامغان (استاد مشاور)

دکتر سید رضا محبی، استادیار ویروس شناسی دانشکده زیست شناسی دانشگاه دامغان (استاد مشاور)

دکتر مریم حاجی قاسم کاشانی، استادیار علوم تشریح دانشکده زیست شناسی دانشگاه دامغان (استاد داور)

دکتر فرید نوری، استادیار بیوفیزیک دانشکده زیست شناسی دانشگاه دامغان (استاد داور)

دکتر محمود الهدادی استادیار نوروفیزیولوژی دانشکده زیست شناسی دانشگاه دامغان (نماینده تحصیلات تکمیلی)

تعدیم به پر و مادر عزیزم

خدای را بسی سلکرم که از روی کرم پر و مادری فدا کار نصیم ساخته تا در سایه درخت پر بار وجودشان بیاسایم و از ریشه آن هاشخ و برگ کیرم و از سایه وجودشان در راه کسب علم و دانش تلاش نمایم . والدینی که بودشان تلاج افتخاری است بر سرم و نامشان دلیلی است بر بودنم چرا که این دو وجود پس از پروردگار مایه هستی ام بوده اند و ستم را گرفته و راه رفتن را در این وادی زندگی پر از فرازو نشیب آموختند . آموزگارانی که برایم زندگی ؛ بودن و انسان بودن را معنا کردند . حال این برگ سبزی است تنه دویش

تعدیم آنان ...

تعدیم به برادرم و خواهران مهربانم

به همسفران مهربان زندگیم کریم ، مریم وزهراء که با هم آغاز کردیم ، در کنار هم آموختیم و به امید هم به آینده چشم می دوزیم . قلبم لبیز از عشق به شماست و خوبیتی تان تهای آرزویم .

این مجموعه را به خانواده عزیزم تقدیم می کنم .

سپاسگزاری

ستایش برای خداست آن نخستین بی‌آغاز و آن واپسین بی‌انجام، ستایش برای خداست که خود را به ما شناساند و شیوه سپاسگزاری از خود را به ما آموخت و درهای علم به پروردگاریش را به روی ما گشود و به اخلاص ورزیدن به توحید خود رهنمون ساخت. آری ستایش از آن توست، چرا که مرا فراموش نکرده‌ای و در یاد ندارم که حتی برای لحظه‌ای مرا به خود واگذاره باشی. پس چگونه فراموشت کنم تو را که می‌باید اول و آخر هر سخن و سپاس باشی. تو در کنارم بوده‌ای و رهنمودهایت را دیده و دریافت‌هایم و یادم می‌آید که همیشه می‌گفته‌اند، معلمی از آن پیامبران توست؛ پس من هم سهمی از این پیامبرانت برده‌ام.

با تقدیر و درود فراوان خدمت پدر و مادر بسیار عزیز، دلسوز و فداکارم که پیوسته جرعه نوش جام تعلیم و تربیت، فضیلت و انسانیت آن‌ها بوده‌ام و همواره چراغ وجودشان روشنگر راه من در سختی‌ها و مشکلات بوده است.

و شمع را طریقتو است که تا پایان راه یاریگرش خواهد بود و پروانه را معرفتی است که تا پایان راه کسب خواهد کرد و شمع سان خواهد سوت و حکایت شمع حکایت دستان «استاد» بود که بی‌صدا می‌سوخت.

بدین ترتیب مراتب سپاس و قدردانی خود را از استاد راهنمای فاضل و عزیز خود جناب آقای دکتر سعید زواره که همواره با رهنمودهای ارزشمند خویش راه‌گشنا و حامی و همراه من در این کار بودند، ابراز می‌دارم. با امتنان ییکران از مساعدت‌های بی‌شایبه‌ی استاد راهنمای گرامی جناب آقای دکتر سید حسن پایلالخی و نیز از استادی گرانقدر جناب آقای دکتر محمد تقی قربانیان و جناب آقای دکتر سید رضا محبی، که با دیدی عالمانه زحمت مشاوره‌ی این پایان نامه را به عهده داشتند، همچنین از سرکار خانم دکتر کاشانی و جناب آقای دکتر نوری که زحمت داوری این پایان نامه را به عهده داشتند و از نماینده تحصیلات تکمیلی جناب آقای دکتر الهدادی کمال تشکر و سپاس‌گزاری را دارم.

اساتید عزیزم دکتر زواره، دکتر قربانیان، دکتر پایلاخی، دکتر محبی، دکتر صالح نیا، دکتر کاشانی، دکتر اله دادی، دکتر لشکریلوکی، دکتر ابراری و دکتر گودرزی؛ شماروشنایی بخش تاریکی جان هستید و ظلمت اندیشه را نور می‌بخشد. چگونه سپاس گویم مهریانی و لطف شما را که سرشار از عشق و یقین است. چگونه سپاس گویم تأثیر علم آموزی شما را که چراغ روشن هدایت را بر کلبهٔ محقر وجودم فروزان ساخته است. آری در مقابل این همه عظمت و شکوه شما مرا نه توان سپاس است و نه کلام وصف.

با سپاس فراوان خدمت دوستان عزیزم زینب، مریم، مرضیه، ریحانه، زهره، مریم آذری، رضا اسدزاده، ماندانا امامدوست، مریم رمضانی، شیما خسروی، مریم بلدرگر، مهدیه رمضانی، نرجس هاشمی، ناهید رازقی، سمیرا دولت آبادی، مریم محل دشتیان، مریم قاسم زاده، بهناز عارف زاده، معصومه امیری و مليحه نجعی؛ کارشناسان محترم آزمایشگاه آقای کوشایی و خانم نفری و همچنین آقای فلاحتی که مرا صمیمانه و مشفقاته یاری نمودند.

سپاس بیکران بر همدلی و همراهی دوست دلسوز و مهریانم خانم نرگس باقری پور که سجده‌هی ایثارش گل محبت را در وجودم پروراند و وجود گهریارش لحظه‌های مهریانی را به من آموخت.

و با تشکر خالصانه خدمت همه کسانی که به نوعی مرا در به انجام رساندن این مهم یاری نموده اند.

چکیده

تأثیر هورمون‌های استروئیدی بر بیان Oct4 و Sox2 در بافت رحم موش اواریکتومی

بهوسیله:
مرضیه داودی

رحم، بافتی پویاست که در پاسخ به تغییرات هورمونی طی چرخه‌های تولیدمنلی تحت فرآیندهای دوره‌ای بازسازی، تمایز و ریزش قرار می‌گیرد. در سال‌های اخیر سلول‌های بنیادی بالغ در آندومتر انسان و موش شناسایی شده‌اند. فاکتورهای رونویسی Oct4 و Sox2 برای حفظ پرتوانی سلول ضروری می‌باشند. در مطالعه حاضر بیان Oct4 و Sox2 بافت رحم موش اواریکتومی در مقایسه با موش‌های اواریکتومی تیمار شده با هورمون‌های تخمداری اگزوژن با استفاده از ایمنوهیستوشیمی و Real time PCR بررسی شد. موش‌های ماده بالغ پس از تعیین سیکل با اسمیر واژن، اواریکتومی شدند. پس از ۲ هفته، موش‌ها با هورمون‌های استرادیول، پروژسترون و ترکیب استرادیول-پروژسترون به مدت ۵ روز تیمار شدند و پس از قربانی شدن، رحم برداشته شد. رنگ‌آمیزی هماتوکسیلین-ائوزین، ایمنوهیستوشیمی نشانگرهای پرتوانی Oct4 و Sox2 بر روی برش‌های پارافینی ناحیه میانی شاخ رحم و Real time PCR از DNA مکمل mRNA نشانگرهای پرتوانی آمده شده از بافت رحم انجام شد. رنگ‌آمیزی ایمنوفلوروستنت، تفاوت در جایگاه بیان نشانگرهای پرتوانی Oct4 و Sox2 را در آندومتر و میومتر رحم گروه‌های تیمار نشان داد. مقایسه چرخه نرمal آستانه (Ct)، سطوح متفاوت بیان زن-های نشانگر پرتوانی را در گروه درمان با استرادیول در مقایسه با سایر گروه‌ها نشان داد. مطالعه حاضر نشان داد که بیان Oct4 و Sox2 در رحم موش نحت تاثیر هورمون‌های استروئیدی است.

واژگان کلیدی: هورمون‌های استروئیدی، سلول‌های بنیادی رحم، نشانگرهای پرتوانی، اواریکتومی

فهرست مطالب

| صفحه | عنوان |
|------|--|
| ۱ | فصل اول مقدمه و مروری بر مطالعات گذشته |
| ۲ | ۱- سلول های بنیادی |
| ۶ | ۲- بازسازی آندومتر و سلول های بنیادی / پروژنیتور آندومتر |
| ۶ | ۱-۲- بازسازی آندومتر در طول سیکل قاعده‌گی |
| ۸ | ۲-۲-۱ تغییرات هورمونی و ساختاری رحم در هر فاز؛ سیکل ماهانه آندومتری و قاعده‌گی |
| ۹ | ۱-۲-۲-۱ فاز تکثیری (استروژنی یا فولیکولی؛ روز ۱۴-۴) |
| ۱۰ | ۲-۲-۲-۱ فاز ترشحی (پروژسترونی، لوئال؛ روز ۱۴-۲۸) |
| ۱۱ | ۳-۲-۲-۱ فاز قاعده‌گی |
| ۱۲ | ۱-۳-۲-۱ بازسازی آندومتر پس از یائسگی |
| ۱۲ | ۱-۴-۲-۱ ترمیم آندومتر به دنبال قاعده‌گی |
| ۱۳ | ۱-۵-۲-۱ تنظیم بازسازی آندومتر و نقش هورمون های استروئیدی و فاکتور های رشد |
| ۱۳ | ۱-۵-۲-۱ هورمون های استروئیدی |
| ۱۵ | ۱-۵-۲-۱ فاکتور های رشد |
| ۱۶ | ۱-۶-۲-۱ سلول های بنیادی بالغ در بافت های بازسازی شده |
| ۱۶ | ۱-۷-۲-۱ شواهدی برای سلول های بنیادی / پروژنیتور آندومتر |
| ۱۷ | ۱-۷-۲-۱ سلول های بنیادی / پروژنیتور اپی تیالی آندومتر |
| ۱۷ | ۱-۱-۷-۲-۱ سلول های کلونوژنیک (CFU) |
| ۱۸ | ۲-۱-۷-۲-۱ Side population (SP cells) cells |
| ۲۰ | ۳-۱-۷-۲-۱ Lable retaining cells (LRCs) |
| ۲۲ | ۲-۷-۲-۱ سلول های بنیادی / پروژنیتور استرومایی آندومتر (eMSC) |
| ۲۲ | ۱-۲-۷-۲-۱ سلول های کلونوژنیک (CFU) |
| ۲۳ | ۲-۲-۷-۲-۱ سلول های SP |
| ۲۳ | ۳-۲-۷-۲-۱ Lable retaining cells (LRC) |
| ۲۴ | ۱-۸-۲-۱ منشأ سلول های بنیادی / پروژنیتور آندومتر |
| ۲۴ | ۱-۸-۲-۱ باقیمانده سلول های بنیادی جنینی |
| ۲۵ | ۲-۸-۲-۱ سلول های بنیادی گردش خون با منشأ مغز استخوان |
| ۲۷ | ۱-۲-۸-۲-۱ نقش سلول های مشتق شده از مغز استخوان در بازسازی آندومتر |

| | |
|--|----|
| ۱-۳-۱ کنترل استروئیدی آندومتر | ۲۹ |
| ۱-۳-۱-۱ بیان گیرنده استروئیدی آندومتر | ۲۹ |
| ۱-۳-۱-۲ پروژسترون و گیرندهای پروژسترونی | ۳۱ |
| ۱-۳-۱-۳ استروژن و گیرنده استروژنی | ۳۳ |
| ۱-۴ نقش هورمون‌های استروئیدی و فاکتورهای رشد بر تنظیم سلول‌های بنیادی/ پروژنیتور آندومتر و بازسازی آندومتر | ۳۴ |
| ۱-۴-۱ بیان گیرنده استروژن در سلول‌های بنیادی/ پروژنیتور آندومتر | ۳۴ |
| ۱-۴-۱-۱ نقش LRC در بازسازی آندومتر | ۳۶ |
| ۱-۴-۱-۲ نقش استروژن در تنظیم کننده‌های چرخه سلولی | ۳۷ |
| ۱-۵ نشانگرهای پرتوان در سلول‌های بنیادی رحم | ۳۸ |
| ۱-۵-۱ بیان نشانگرهای پرتوان Oct4 و Sox2 در آندومتر | ۳۸ |
| ۱-۵-۱-۱ بررسی اثرات OCT4, NANOG و SOX2 در روند تکوین جنین انسان | ۴۲ |
| ۱-۵-۱-۲ عملکرد نشانگرهای پرتوان | ۴۵ |
| ۱-۵-۱-۳ کمپلکس تنظیم ژنی OCT4 و SOX2 | ۴۶ |
| ۱-۶ چرخه استروس | ۴۶ |
| ۱-۶-۱ شرح مراحل چرخه استروس | ۴۷ |
| ۱-۶-۱-۱ پرواستروس | ۴۸ |
| ۱-۶-۱-۲ استروس | ۴۹ |
| ۱-۶-۱-۳ مت استروس | ۴۹ |
| ۱-۶-۱-۴ دی استروس | ۴۹ |
| ۱-۶-۱-۵ کنترل هورمونی چرخه استروس | ۴۹ |
| ۱-۷ تعریف مسأله | ۵۱ |
| ۱-۷-۱ فرضیه‌ها | ۵۲ |
| ۱-۷-۲ اهداف | ۵۳ |
| فصل دوم مواد و روش‌ها | ۵۳ |
| ۱-۲ تهییه و نگهداری حیوانات آزمایشگاهی | ۵۵ |
| ۱-۲-۱ روش انجام تحقیق و مراحل اجراء | ۵۵ |
| ۱-۲-۲ تعیین و انتخاب مراحل چرخه استروس | ۵۷ |
| ۱-۲-۲-۱ تعیین و انتخاب مراحل چرخه استروس براساس اسمیر وازن | ۵۷ |
| ۱-۲-۲-۲ مواد و وسایل لازم تهییه اسمیر وازن و تعیین چرخه استروس | ۵۷ |
| بروتوكل جمع آوري و تجزيه و تحليل ترشحات وازن (اسميرهای مرطوب) | ۵۸ |

| | |
|---|----|
| روش آماده کردن رنگ متیلن بلو دو درصد جهت رنگ آمیزی لام اسمیر | ۶۰ |
| ۲-۲ آماده سازی موش‌های فاقد تخمدان | ۶۱ |
| عمل حذف تخمدان (Ovariectomy) | ۶۱ |
| نحوه اواریکتومی دو طرفه | ۶۱ |
| ۱-۲-۲ مطالعه مورفولوژی و مورفومتریک رحم موش‌های فاقد تخمدان | ۶۲ |
| مواد و وسایل لازم برای تهییه مقاطع میکروسکوپ نوری و رنگ آمیزی H&E از شاخ رحم | ۶۳ |
| مراحل تهییه مقاطع میکروسکوپ نوری از شاخ رحم | ۶۳ |
| مراحل رنگ آمیزی هماتوکسیلین و ائوزین از برش‌های شاخ رحم: | ۶۴ |
| روش تهییه سالین بافر فسفات (PBS) | ۶۵ |
| روش تهییه پارافرمالدئید ۴ درصد (Merck) | ۶۶ |
| روش تهییه رنگ هماتوکسیلین هریس | ۶۶ |
| روش تهییه رنگ ائوزین | ۶۷ |
| روش تهییه چسب آلبومین | ۶۷ |
| روش تهییه اسید الکل | ۶۷ |
| ۳-۲ بررسی حضور نشانگرهای پرتوانی (Oct4 و Sox2) با استفاده از تکنیک ایمنوهیستوشیمی | ۶۸ |
| فیکساسیون بافتی | ۶۸ |
| تثبیت در مشتقات فرمالین | ۶۹ |
| بازیابی آتنی ژنی | ۷۰ |
| مواد و وسایل مورد نیاز برای ایمنوهیستوشیمی | ۷۱ |
| مراحل انجام ایمنوهیستوشیمی | ۷۲ |
| روش تهییه محلول بافر سیترات | ۷۴ |
| روش تهییه محلول TBS | ۷۴ |
| روش رقیق کردن سرم بز ۱۰ درصد | ۷۵ |
| روش رقیق کردن DAPI | ۷۵ |
| ۴-۲-۲ بررسی میزان بیان ژن‌های Oct4 و Sox2 با استفاده از تکنیک Real time PCR | ۷۶ |
| ۱-۴-۲-۲ استخراج RNA | ۷۶ |
| الکتروفورز ژل آگارز | ۷۸ |
| روش تهییه بافر الکتروفورز (TBE) | ۸۰ |
| روش تهییه EDTA (۰/۵ M) | ۸۱ |
| روش تهییه ژل آگارز ۱/۵ درصد | ۸۱ |

| | | |
|-----|-------|---|
| ۸۱ | | cDNA ۲-۴-۲-۲ سنتز |
| ۸۲ | | Real time PCR ۳-۴-۲-۲ واکنش |
| ۸۳ | | مواد و وسایل مورد نیاز برای Real time PCR |
| ۸۵ | | ۴-۴-۲-۲ ارزیابی کیفیت و صحت واکنش PCR |
| ۸۵ | | ۵-۴-۲-۲ آنالیز آماری |
| ۸۷ | | فصل ۳ نتایج |
| ۸۸ | | ۱-۳ تعیین چرخه های تولیدمثلى |
| ۸۸ | | ۱-۱-۳ تعیین چرخه های تولیدمثلى براساس اسمیر واژن |
| ۸۸ | | ۱-۱-۳ پرواستروس |
| ۸۸ | | ۲-۱-۱-۳ استروس |
| ۸۸ | | ۳-۱-۱-۳ مت استروس |
| ۸۹ | | ۴-۱-۱-۳ دی استروس |
| ۹۰ | | ۲-۳ تأثیر هورمون های تخدمانی اگزوژن بر بافت رحم موش مدل اواریکتومی براساس برسی های مورفولوژی و مورفومتریک مقاطع بافت شناسی رحم |
| ۹۰ | | ۱-۲-۳ مورفولوژی بافت رحم در موش های مدل اواریکتومی در گروه کنترل |
| ۹۰ | | ۲-۲-۳ مورفولوژی بافت رحم در موش های مدل اواریکتومی در گروه شم |
| ۹۱ | | ۳-۲-۳ مورفولوژی بافت رحم در موش های مدل اواریکتومی تیمار با استروژن |
| ۹۱ | | ۴-۲-۳ مورفولوژی بافت رحم در موش های مدل اواریکتومی تیمار با پروژسترون |
| ۹۱ | | ۵-۲-۳ مورفولوژی بافت رحم در موش های مدل اواریکتومی تیمار ترکیبی استروژن - پروژسترون |
| ۹۸ | | ۳-۳ بررسی نشانگرهای سلول های بنیادی پرتون (Sox2 و Oct4) با استفاده از تکنیک اینتوهیستوشیمی |
| ۹۸ | | ۱-۳-۳ بیان نشانگر سلول های بنیادی پرتون در رحم موش مدل اواریکتومی قبل و بعد از تیمار با هورمون های تخدمانی اگزوژن در سطح پروتئین |
| ۹۸ | | ۱-۱-۳-۳ موش های مدل اواریکتومی گروه کنترل |
| ۹۸ | | ۲-۱-۳-۳ موش های اواریکتومی گروه شم |
| ۹۹ | | ۳-۱-۳-۳ موش های اواریکتومی تیمار با استروژن |
| ۹۹ | | ۴-۱-۳-۳ موش های اواریکتومی تیمار با پروژسترون |
| ۹۹ | | ۵-۱-۳-۳ موش های اواریکتومی تیمار ترکیبی استرادیول - پروژسترون |
| ۱۰۰ | | ۲-۳-۳ بیان نشانگر سلول های بنیادی پرتون Sox2 در رحم موش مدل اواریکتومی قبل و بعد از تیمار با هورمون های تخدمانی اگزوژن در سطح پروتئین |
| ۱۰۰ | | ۱-۲-۳-۳ موش های اواریکتومی گروه کنترل |
| ۱۰۰ | | ۲-۲-۳-۳ موش های اواریکتومی گروه شم |
| ۱۰۰ | | ۳-۲-۳-۳ موش های اواریکتومی تیمار با ۱۷- بتا- استرادیول |

| | |
|--|-----|
| ۴-۲-۳-۳ موش‌های اواریکتومی تیمار با پروژسترون..... | ۱۰۱ |
| ۵-۲-۳-۳ موش‌های اواریکتومی تیمار ترکیبی استرادیول- پروژسترون | ۱۰۱ |
| ۴-۳ بررسی میزان بیان ژن‌های Oct4 و SOX2 با استفاده از تکنیک Real time PCR ۱۲۴ استخراج RNA ۱۲۴ | ۱۲۴ |
| ۲-۴-۳ بررسی میزان بیان ژن‌های نشانگر سلول‌های بنیادی پرتوان در رحم موش مدل اواریکتومی قبل و بعد از درمان با هورمون‌های تخدمانی اگزوژن..... ۱۲۴ Real time PCR ۳-۲-۴-۳ ۱۲۴ | ۱۲۴ |
| ۴-۲-۴-۳ ارزیابی کیفیت و صحت واکنش PCR ۱۳۰ Real time PCR ۵-۲-۴-۳ آنالیز داده‌های ۱۳۰ | ۱۳۰ |
| فصل چهارم بحث و نتیجه گیری ۱۳۲ | ۱۳۲ |
| ۱-۴ تأثیر هورمون‌های استروئیدی اگزوژن بر مورفولوژی و هیستولوژی بافت رحم موش اواریکتومی ۱۳۴ | ۱۳۴ |
| ۲-۴ بررسی بیان نشانگرهای پرتونی Oct4 و Sox2 در رحم موش مدل اواریکتومی تیمار با هورمون‌های استروئیدی در سطح پروتئین با استفاده از تکنیک ایمنوھیستوشیمی ۱۳۸ | ۱۳۸ |
| ۳-۴ بررسی بیان نشانگرهای پرتونی Oct4 و Sox2 در رحم موش مدل اواریکتومی تیمار با هورمون‌های استروئیدی در سطح ژن ۱۳۹ | ۱۳۹ |
| ۴-۴ نتیجه گیری نهایی ۱۴۴ | ۱۴۴ |
| ۵-۴ پیشنهادات: ۱۴۵ | ۱۴۵ |
| ۵ منابع ۱۴۶ | ۱۴۶ |

فهرست تصاویر

صفحه

| |
|---|
| شکل ۱-۱: ردی بندی سلول‌های بنیادی ۲ |
| شکل ۱-۲: (A) ساختار رحم، (B) تغییرات چرخه‌ای رحم در طول سیکل قاعدگی ۶ |
| شکل ۱-۳: ساختار آندومتر انسان ۸ |
| شکل ۱-۴: ظرفیت تمایزی سلول‌های CFU ابی‌تلیالی و استرومایی آندومتر انسان ۱۸ |
| شکل ۱-۵: تصویر شماتیک از جایگاه سلول‌های بنیادی/پروژنیتور آندومتر (A) انسان و (B) موش ۲۱ |
| شکل ۱-۶: ساختار توالی دو ایزوفرم $\text{ER}\beta$ و $\text{ER}\alpha$ ۳۰ |
| شکل ۱-۷: شکل شماتیک از بیان گیرنده استروژن در سلول‌های بنیادی/پروژنیتور آندومتر و نیچه‌های سلول بنیادی/پروژنیتور ۳۵ |
| شکل ۱-۸: ساختارهای ژنی OCT4B, OCT4A, OCT4B1 و OCT4 ۴۱ |
| شکل ۱-۹: شبکه مولکولی تنظیم شده بوسیله OCT4, NANOG و SOX2 ۴۵ |
| شکل ۱-۱۰: ترکیب سلولی مراحل مختلف چرخه استروس ۴۸ |
| شکل ۱-۱۱: وقایع آندوکرینی در طول چرخه استروس موش ۵۲ |
| شکل ۲-۱: نحوه صحیح مهار کردن موش سوری برای تهیه اسمیر واژن ۵۷ |
| شکل ۲-۲: جمع آوری ترشحات واژن موش سوری ۵۸ |
| شکل ۲-۳: پیپتاژ کردن مایع واژن بر روی لام شیشه‌ای ۵۸ |
| شکل ۲-۴: رنگ آمیزی مایع واژن روی لام با متیلن بلو دو درصد ۵۸ |
| شکل ۲-۵: نحوه جراحی اواریکتومی ۶۱ |
| شکل ۲-۶: دستگاه میکروتوم روتاری ۶۳ |
| شکل ۳-۱: سیتولوزی اسمیر واژن طی چهار مرحله چرخه استروس طبیعی در موش کوچک آزمایشگاهی ۸۹ |
| شکل ۳-۲: مقایسه سلول‌های موجود در اسمیر واژن موش سوری با چرخه استروس طبیعی و سلول‌های موجود در اسمیر واژن موش اواریکتومی و موش تیمار با هورمون ۹۲ |
| شکل ۳-۳: مقاطع میکروسکوپ نوری و رنگ آمیزی هماتوکسیلین و انوزین (H&E) از شاخ رحم موش اواریکتومی قبل و بعد از تیمار ۹۳ |
| شکل ۳-۴: مقاطع میکروسکوپ نوری و رنگ آمیزی هماتوکسیلین و انوزین (H&E) از شاخ رحم موش اواریکتومی تحت هورمون درمانی ۹۴ |
| شکل ۳-۵: تصاویر میکروسکوپ فلورسنت مربوط به ایمنوهیستوشیمی سلول‌های Oct4 مثبت در بافت رحم گروه کنترل (اوریکتومی) ۱۰۲ |
| شکل ۳-۶: تصاویر میکروسکوپ فلورسنت مربوط به ایمنوهیستوشیمی سلول‌های Oct4 مثبت در بافت رحم گروه کنترل (اوریکتومی) ۱۰۳ |
| شکل ۳-۷: تصاویر میکروسکوپ فلورسنت مربوط به ایمنوهیستوشیمی سلول‌های Oct4 مثبت در بافت رحم گروه تیمار با روغن کنجد (گروه شم) ۱۰۴ |

| | |
|---|-----|
| شکل ۳-۸ : تصاویر میکروسکوپ فلورسنت مربوط به ایمنوهیستوشیمی سلول‌های Oct4 مثبت در بافت رحم گروه تیمار با روغن کنجد (گروه شم)..... | ۱۰۵ |
| شکل ۳-۹ : تصاویر میکروسکوپ فلورسنت مربوط به ایمنوهیستوشیمی سلول‌های Oct4 مثبت در بافت | ۱۰۶ |
| شکل ۳-۱۰ : تصاویر میکروسکوپ فلورسنت مربوط به ایمنوهیستوشیمی سلول‌های Oct4 مثبت در بافت رحم گروه تیمار با ۱۷- بتا- استرادیول..... | ۱۰۷ |
| شکل ۳-۱۱ : تصاویر میکروسکوپ فلورسنت مربوط به ایمنوهیستوشیمی سلول‌های Oct4 مثبت در بافت رحم گروه تیمار با پروژسترون | ۱۰۸ |
| شکل ۳-۱۲ : تصاویر میکروسکوپ فلورسنت مربوط به ایمنوهیستوشیمی سلول‌های Oct4 مثبت در بافت رحم گروه تیمار با پروژسترون | ۱۰۹ |
| شکل ۳-۱۳ : تصاویر میکروسکوپ فلورسنت مربوط به ایمنوهیستوشیمی سلول‌های Oct4 مثبت در بافت رحم گروه تیمار ترکیبی استرادیول- پروژسترون | ۱۱۰ |
| شکل ۳-۱۴ : تصاویر میکروسکوپ فلورسنت مربوط به ایمنوهیستوشیمی بافت هیپوكمپ مغز و بیضه بالغ در گروه کنترل مثبت Oct4..... | ۱۱۱ |
| شکل ۳-۱۵ : تصاویر میکروسکوپ فلورسنت مربوط به ایمنوهیستوشیمی بافت رحم در گروه کنترل منفی Oct4 و Sox2 (گروه فاقد آنتی بادی اولیه)..... | ۱۱۲ |
| شکل ۳-۱۶ : تصاویر میکروسکوپ فلورسنت مربوط به ایمنوهیستوشیمی بافت هیپوكمپ مغز و بیضه بالغ در گروه کنترل مثبت Sox2 | ۱۱۳ |
| شکل ۳-۱۷: تصاویر میکروسکوپ فلورسنت مربوط به ایمنوهیستوشیمی سلول‌های Sox2 مثبت در بافت رحم گروه کنترل (اوایکتومی) | ۱۱۴ |
| شکل ۳-۱۸: تصاویر میکروسکوپ فلورسنت مربوط به ایمنوهیستوشیمی سلول‌های Sox2 مثبت در بافت رحم گروه کنترل (اوایکتومی) | ۱۱۵ |
| شکل ۳-۱۹: تصاویر میکروسکوپ فلورسنت مربوط به ایمنوهیستوشیمی سلول‌های Sox2 مثبت در بافت رحم گروه تیمار با روغن کنجد (گروه شم) | ۱۱۶ |
| شکل ۳-۲۰: تصاویر میکروسکوپ فلورسنت مربوط به ایمنوهیستوشیمی سلول‌های Sox2 مثبت در بافت رحم گروه تیمار با روغن کنجد (گروه شم) | ۱۱۷ |
| شکل ۳-۲۱: تصاویر میکروسکوپ فلورسنت مربوط به ایمنوهیستوشیمی سلول‌های Sox2 مثبت در بافت رحم گروه تیمار با ۱۷- بتا- استرادیول..... | ۱۱۸ |
| شکل ۳-۲۲: تصاویر میکروسکوپ فلورسنت مربوط به ایمنوهیستوشیمی سلول‌های Sox2 مثبت در بافت رحم گروه تیمار با ۱۷- بتا- استرادیول..... | ۱۱۹ |
| شکل ۳-۲۳: تصاویر فاز کنتراست مربوط به ایمنوهیستوشیمی سلول‌های Sox2 مثبت در بافت رحم گروه تیمار با پروژسترون | ۱۲۰ |
| شکل ۳-۲۴: تصاویر فاز کنتراست مربوط به ایمنوهیستوشیمی سلول‌های Sox2 مثبت در بافت رحم گروه تیمار با پروژسترون | ۱۲۱ |
| شکل ۳-۲۵: تصاویر فاز کنتراست مربوط به ایمنوهیستوشیمی سلول‌های Sox2 مثبت در بافت رحم گروه تحت تیمار ترکیبی با استرادیول- پروژسترون | ۱۲۲ |

| | |
|--|-----|
| شکل ۳-۲۶: تصاویر فاز کنتراست مربوط به ایمنوھیستوشیمی سلول‌های Sox2 مثبت در بافت رحم گروه تحت تیمار ترکیبی با استرادیول-پروژسترون | ۱۲۳ |
| شکل ۳-۲۷: ژل آگارز RNA های انتخاب شده در گروه‌های مختلف برای سنتز cDNA | ۱۲۴ |
| شکل ۳-۲۸: واکنش Real time PCR ژن ACTIN | ۱۲۵ |
| شکل ۳-۲۹: منحنی ذوب واکنش Real time PCR ژن ACTIN | ۱۲۵ |
| شکل ۳-۳۰: واکنش Real time PCR ژن Oct4 | ۱۲۶ |
| شکل ۳-۳۱: منحنی ذوب واکنش Real time PCR ژن Oct4 | ۱۲۶ |
| شکل ۳-۳۲: واکنش Real time PCR ژن Sox2 | ۱۲۷ |
| شکل ۳-۳۳: منحنی ذوب واکنش Real time PCR ژن Sox2 | ۱۲۷ |
| شکل ۳-۳۴: ژل آگارز محصول PCR | ۱۳۰ |

فهرست جدول‌ها

| | |
|--|-----|
| جدول ۱-۱: فازهای قاعده‌گی | ۹ |
| جدول ۱-۲: ساخت Master Mix cDNA | ۸۱ |
| جدول ۲-۲: مشخصات پرایمرهای مورد استفاده برای واکنش Real time PCR | ۸۴ |
| جدول ۳-۱: تغییرات میانگین تعداد سلول‌های استرومای آندومتر رحم | ۹۴ |
| جدول ۳-۲: تغییرات مورفومتریک قطر رحم در گروه‌های مورد مطالعه | ۹۶ |
| جدول ۳-۳: تغییرات وزن موش‌ها در گروه‌های مختلف مطالعه بر حسب گرم وزن موش | ۹۶ |
| جدول ۴-۳: داده‌های چرخه نرمال آستانه (Ct) ژن‌های Oct4، Sox2 و ACTIN | ۱۲۸ |
| جدول ۳-۵: بررسی بیان نسبی ژن‌های Oct4 و Sox2 در گروه تیمار با ۱۷- بتا- استرادیول در مقایسه با گروه کنترل اواریکتومی | ۱۲۸ |
| جدول ۳-۶: بررسی بیان نسبی ژن‌های Oct4 و Sox2 در گروه تیمار با پروژسترون در مقایسه با گروه کنترل اواریکتومی | ۱۲۸ |
| جدول ۳-۷: بررسی بیان نسبی ژن‌های Oct4 و Sox2 در گروه تیمار با استرادیول-پروژسترون در مقایسه با گروه کنترل اواریکتومی | ۱۲۸ |

فهرست نمودارها

| | |
|--|-----|
| نمودار ۳-۱: تغییرات میانگین تعداد سلول‌های استرومای آندومتر رحم در گروه‌های مورد مطالعه | ۹۵ |
| نمودار ۳-۲: تغییرات مورفومتریک قطر رحم در گروه‌های مورد مطالعه | ۹۶ |
| نمودار ۳-۳: نمودار میزان بیان ژن‌های Oct4 و Sox2 در گروه‌های مختلف تیمار با استرادیول، تیمار با پروژسترون و تیمار ترکیبی استرادیول-پروژسترون در مقایسه با گروه کنترل | ۱۳۱ |

فصل اول

مقدمه و مروري بر مطالعات گذشته

فصل ۱

مقدمه و مروری بر مطالعات گذشته

۱-۱ سلول‌های بنیادی

سلول‌های بنیادی، سلول‌های تمایز نیافته کمیابی هستند که می‌توانند بدون تمایز، خود تجدید^۱ شوند [۱]. این سلول‌ها در اندام‌ها و بافت‌های بالغ بسیاری وجود دارند و قادرند به دودمان‌های سلولی مختلف تمایز یابند. کمیاب بودن و عدم مشخصات مورفولوژیکی متمایزکننده و فقدان نشانگرهای خاص، شناسایی جایگاه آن‌ها را در بافت‌ها دشوار می‌کند [۲، ۳]. با توجه به مرحله‌ی تکوین، سلول‌های بنیادی را می‌توان به سلول‌های بنیادی جنینی^۲ و سلول‌های بنیادی بالغ^۳ (سلول‌های بنیادی سوماتیک) طبقه‌بندی کرد [۱]. سلول‌های بنیادی بالغ با ویژگی‌های عملکردی شامل پتانسیل تکثیر بالا، ظرفیت خود تجدیدی قابل توجه و توانایی تمایز به حداقل یک نوع دودمان عملکردی بالغ، تعریف می‌شوند [۴-۷]. خودتجدیدی یا توانایی تولید سلول‌های بنیادی دختر یکسان برای حفظ منبع سلول‌های بنیادی در بافت‌ها ضروری است. تقسیم سلولی نامتقارن، مکانیسمی برای تولید یک سلول دختری یکسان و یک سلول دختری تمایز یافته‌تر است [۵]. سلول‌های بنیادی همچنین متحمل تقسیمات متقارن جهت تولید دو سلول بنیادی دختر یکسان یا پروژنیتورهای سلول‌های تقویت کننده موقتی^۴ (سلول‌های موقتی با توان تمایزی بالا: TA) می‌شوند. زیگوت^۵ اولین گروه از دودمان سلول‌های بنیادی است و توتی‌پوتنت^۶ یا همه توان نامیده می‌شود که قادر است انواع سلول‌ها را در جنین و بافت‌های خارج جنینی تولید و تکوین رویان را حمایت کند [۶-۹]. سلول‌های بنیادی جنینی از توده‌ی سلول داخلی^۷ بلاستوسیست مشتق شده اند که پلوری‌پوتنت^۸ یا پرتوان نامیده می‌شود و به جنین تبدیل شده اما به بافت خارج جنینی (تروفوبلاست) تبدیل نمی‌شود. این

¹ Self-renewal

² Embryonic stem (ES) cells

³ Adult stem cells = Somatic stem cells

⁴ Transit amplifying (TA) cells

⁵ Zygote

⁶ Totipotent

⁷ Inner cell mass

⁸ Pluripotent

سلول‌ها قادرند به انواع سلول‌های سه لایه جنینی اکتودرم، مزودرم و اندودرم و نیز به تروفکتودرم^۱ تمایز یابند (شکل ۱-۱ A، ۲، ۸، ۱۰-۱۲) [۷]. پتانسیل تمایزی این سلول‌ها به طور فراینده ای به دنبال تکوین جنین محدود می‌شود [۷]. سلول‌های بنیادی بالغ^۲ که سلول‌های سوماتیک نیز نامیده می‌شوند به مقدار کم به عنوان سلول‌های تمایز نیافته در بیشتر بافت‌های بالغ وجود دارند. در سال‌های اخیر این سلول‌ها در انواع مختلفی از بافت‌ها و اندام‌ها توسط ویژگی‌های عملکردی خود شناسایی شده‌اند. این سلول‌ها توانایی خودتکثیری دارند و به یک یا چند دودمان سلولی با پتانسیل تکثیری بالا تمایز می‌یابند و سلول‌های بنیادی مولتی نامیده می‌شوند [۴-۶]. سلول‌های بنیادی سوماتیک در بافت‌های بالغ به سلول‌های سازنده هر بافت که در آنجا مستقرند تمایز می‌یابند به عنوان مثال سلول‌های بنیادی هموپوئیتیک^۳ را می‌توان نام برد [۱۳]، که توانایی خودتکثیری و تمایزی آن‌ها وابسته به فاز چرخه سلولی و ریزمحیط^۴ خاص می‌باشد. سلول‌های بنیادی الیگوپوتنت^۵ به انواع کمی سلول تمایز می‌یابند به عنوان مثال سلول‌های بنیادی میلوئیدی یا لنفوئیدی را می‌توان نام برد. پروژنیتورها از سلول‌های بنیادی بالغ مشتق می‌شوند که به یک مسیر تمایزی ویژه متعهد شده و توانایی خودتجددی آن‌ها محدود است و سلول‌های بنیادی یونی پوتنت^۶ نامیده می‌شوند. سلول‌های بنیادی خاص بافتی ممکن است به عنوان پروژنیتورها در نظر گرفته شوند [۱۴-۱۶]. به نظر می‌رسد سلول‌های بنیادی و سلول‌های پروژنیتور، سلول‌های مشابه با فنوتیپ متفاوت و تحت شرایط مختلف هستند [۱۷]. سلول‌های بنیادی یونی پوتنت توانایی تمایز به یک نوع سلول منفرد کاملاً بالغ را دارند. به عنوان مثال می‌توان سلول بنیادی زایای^۷ بیضه را نام برد که اسپرم تولید می‌کند [۱۸]. سلول‌های بنیادی متحمل تقسیمات سلولی نامتقارن می‌شوند و سلول‌های دختری به طور متفاوتی به سوی تبدیل شدن به سلول‌های بنیادی خود تکثیر یا سلول‌های TA هدایت می‌شوند. سلول‌های TA دارای ویژگی‌های حدواسط بین سلول‌های بنیادی و سلول‌های تمایزیافته نهایی اند، بطوری که پتانسیل تکثیری این سلول‌ها محدود شده، آن‌ها متحمل چند دوره تقسیم سلولی می‌شوند و بتدریج نشانگرهای تمایزی را به منظور تولید سلول‌های تمایز یافته نهایی^۸ بدست می‌آورند و توانایی خود تجدیدی را از دست می‌دهند [۴، ۱۹]. سلول‌های TA به سرعت تکثیر یافته و در نهایت به سمت سلول‌های مؤثر تمایزیافته نهایی^۹ تمایز می‌یابند (شکل ۱-۱ B). سلول‌های بنیادی بالغ مختلف با توانایی تمایز به انواع سلول‌های خاص

¹ Trophectoderm

² Adult stem cells

³ Haemopoietic stem cell (HSC)

⁴ Microenvironment

⁵ Oligopotent

⁶ Unipotential stem cells

⁷ Germ stem cell

⁸ Cellular amplification process producing numerous terminally differentiated cells

⁹ Terminally differentiated effector cells

مثل سلول‌های بنیادی عصبی^۱، گوارش^۲، خونی^۳، مزانشیمی و کریپت^۴ شناسایی شده اند (شکل ۱-۱A). سلول‌های استرومایی مولتی‌پوتنت مزانشیمی^۵ که در بافت‌های مختلف انسانی وجود دارند به عنوان سلول‌های چسبنده به پلاستیک با فنوتیپ سطحی مخصوص به خود قادرند به استئوبلاست‌ها، آدیپوسیت‌ها و کندروسیت‌ها در شرایط آزمایشگاهی^۶ تمایز یابند [۲۰، ۲۱]. سلول‌های بنیادی جنینی را برای اولین بار در سال ۱۹۸۱ از موش و سپس در سال ۱۹۹۸ از بلاستوسیست‌های انسانی جداسازی نمودند [۹، ۲۲]. اگرچه استفاده از سلول‌های بنیادی جنینی از نظر اخلاقی منع شده است و احتمال تشکیل تومور در آن‌ها زیاد است، تحقیقات بر روی سلول‌های بنیادی جنینی و سلول‌های بنیادی مزانشیمی نشان داده است که این سلول‌ها برای درمان زخم [۲۳-۲۵]، ترمیم سطح دوپامین مغز در مدل موش پارکینسونی [۲۶]، افزایش سطح گلوکز خون [۲۷]، درمان آسیب‌های نخاعی [۲۸-۳۰]، و بیماری‌های دیگر [۳۱-۳۷] کاربرد دارند. با تزریق سلول‌های بنیادی جنینی به فرد دیگر، این سلول‌ها می‌توانند به سلول‌های مختلف تمایز یابند و ممکن است باعث تشکیل تومور^۷ شوند. سلول‌های بنیادی استرومایی مولتی‌پوتنت را از سلول‌های مزانشیمی مغز استخوان به دست می‌آورند. اما این سلول‌ها به شدت تهاجمی هستند که باعث محدودیت استفاده از این سلول‌ها در تحقیقات می‌شود. برای رفع این مشکل می‌توان از سلول‌های بنیادی خون قاعدگی که تکثیرپذیری بالایی دارند استفاده نمود [۱]. سلول‌های بنیادی استرومایی مولتی‌پوتنت آندومتر پتانسیل تمایزی خود را حفظ می‌کنند [۳۸]. مطالعات بر روی حیوانات نشان می‌دهد که سلول‌های بنیادی آندومتر انسان می‌توانند چندین نوع از سلول‌های آسیب دیده را در شرایط آزمایشگاهی ترمیم کنند. در سال ۲۰۰۴ برای اولین بار Gargett توانست سلول‌های بنیادی آندومتر انسان را مستقیماً از آندومتر بدست آورد [۳۹].

¹ Neural

² Bulge

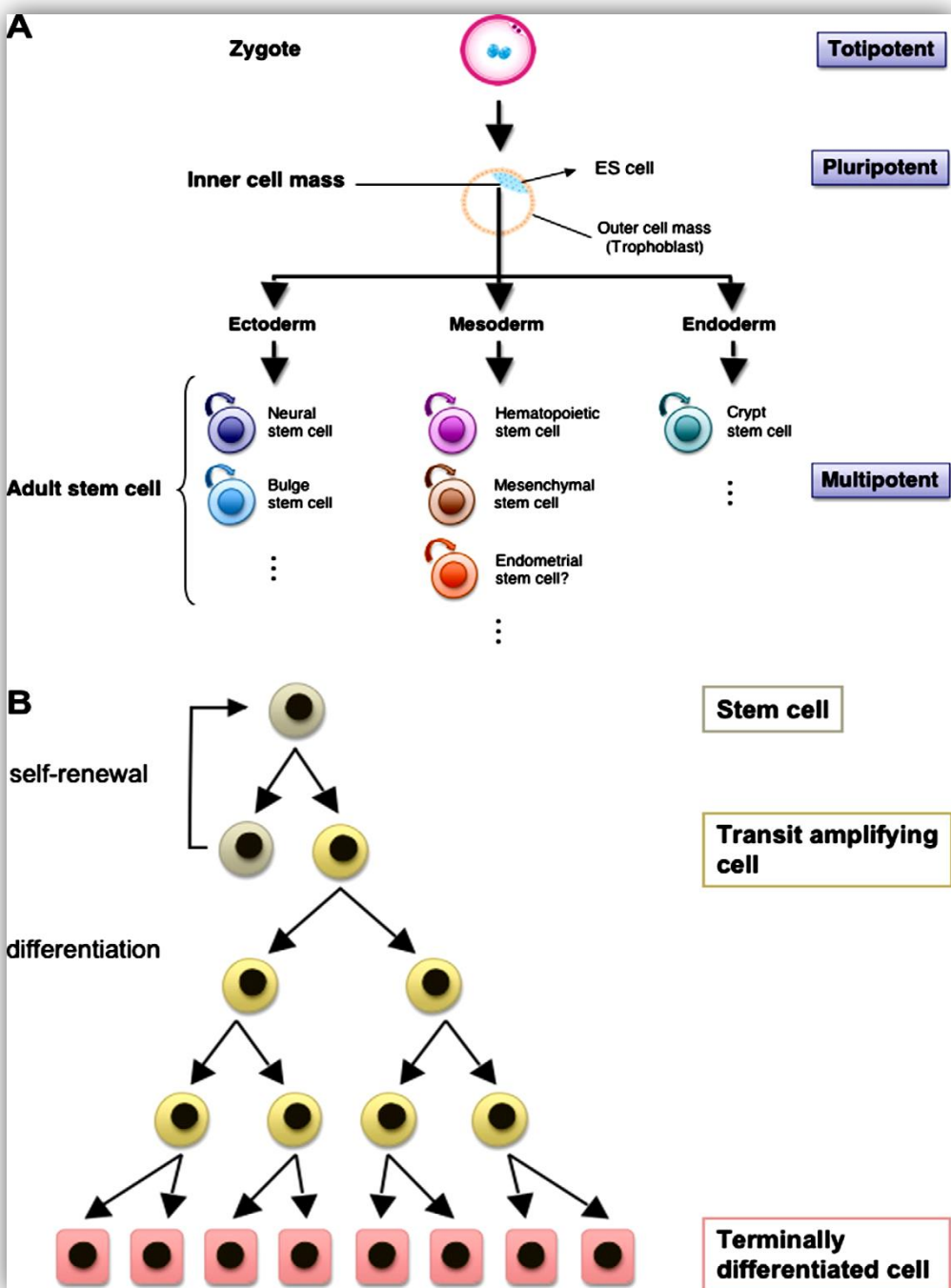
³ Hematopoietic

⁴ Crypt

⁵ MSCs

⁶ In vitro

⁷ Teratoma



شکل ۱-۱: رده بندی سلول‌های بنیادی [۱۶].
A: رده بندی تکوینی، B: رده بندی سلول‌های بنیادی بالغ